

รายการอ้างอิง

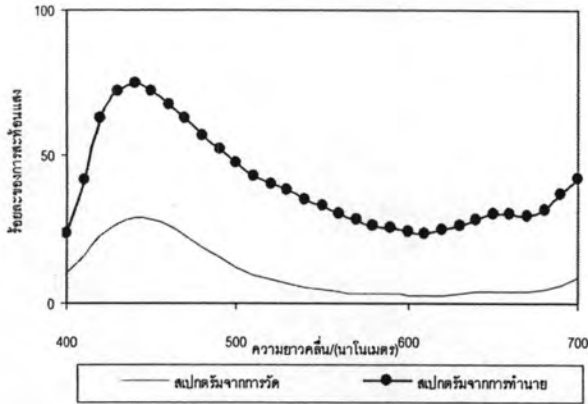
- [1] พิชญดา เกตุเมฆ, เอกสารประกอบคำบรรยายวิชาสมบัติทางทัศนศาสตร์เชิงแสงของวัตถุ มีสี ภาควิชาวิทยาศาสตร์ทางภาพถ่ายและเทคโนโลยีทางการพิมพ์ คณะวิทยาศาสตร์ จุฬาลงกรณ์มหาวิทยาลัย, เอกสารสำเนาเย็บเล่ม, 2548.
- [2] Imai, F.; Rosen, M.; Wyble, D.; Berns, R.; and Tzeng, D. Spectral reproduction from scene to hardcopy I: Input and Output [Online]. Available from: <http://www.cis.rit.edu/mcsl/research/PDFs/Report2.pdf> [2006, March 27].
- [3] Hardeberg, J. Y.; Schmitt, F.; Brettel, H.; Crettez, J.; and Maitre, H. Multispectral Imaging in Multimedia [Online]. Available from: <http://citeseer.ist.psu.edu/hardeberg99multispectral.html> [2006, March 27].
- [4] Rosen, M.; Hattenberger, E.; and Ohta, N. Spectral Redundancy in a Six-Ink Ink Jet Printer [Online]. Available from: http://www.art-si.org/PDFs/Printing/JIST04_Rosen.pdf [2006, November 2].
- [5] Tzeng, D. Spectral-Based Six-Color Separation Minimizing Metamerism [Online]. Available from: http://www.art-si.org/PDFs/Printing/CIC00_Tzeng.pdf [2006, November 2].
- [6] Tzeng, D., and Berns, R. Spectral-Based Ink Selection for Multiple-Ink Printing II. Optimal Ink Selection [Online]. Available from: http://www.art-si.org/PDFs/Printing/CIC99_Tzeng.pdf [2006, November 2].
- [7] Tzeng, D., and Berns, R. Spectral-Based Ink Selection for Multiple-Ink Printing I. Colorant Estimation of Original Objects [Online]. Available from: http://www.art-si.org/PDFs/Printing/CIC98_Tzeng.pdf [2006, November 2].
- [8] ดุสิต เครื่องาม. สิ่งประดิษฐ์ออปโตอิเล็กทรอนิกส์: ฟิสิกส์ เทคโนโลยี และการใช้งาน เล่ม 1. กรุงเทพมหานคร : สำนักพิมพ์จุฬาลงกรณ์มหาวิทยาลัย, 2542.
- [9] พรทวี พึ่งรัมย์. เอกสารการสอนชุดวิชาเทคโนโลยีก่อนพิมพ์. หน่วยที่ 7. พิมพ์ครั้งที่ 2. นนทบุรี : สำนักพิมพ์มหาวิทยาลัยสุโขทัยธรรมมาธิราช, 2549.
- [10] เขาวน ชีโนรักษ์ และพรณี ชีโนรักษ์. ชีววิทยา 1. กรุงเทพมหานคร : ไสภณการพิมพ์, 2540
- [11] Eye anatomy [Online]. Available from : http://eyecare.freeyellow.com/anatomy_eye.gif [2006, November 2].

- [12] Berns, R., Principles of Color Technology, 3rd ed., New York: John Wiley & Sons, Inc., 2000.
- [13] Malacara, D. Color vision and colorimetry : theory and applications, SPIN, 2002.
- [14] Inkjet and Bubble-jet Printers Technology [Online]. Available from :
<http://mimech.com/printers> [2006, November 4].
- [15] Predictable color [Online]. Available from :
<http://www.newsandtech.com> [2006, November 4].
- [16] Inkjet technology [Online]. Available from :
<http://www.huntsman.com> [2006, November 4].
- [17] Hue, P.Le. Progress and Trends in Ink-jet Printing Technology. Journal of Imaging Science and Technology [Online]. Available from :
http://www.imaging.org/resources/web_tutorials/inkjet.cfm [2006, November 4].
- [18] Types of Ink Jet Printing [Online]. Available from :
<http://www.colourgen.com> [2006, November 4].
- [19] Demystifying Ink Jet Printing [Online]. Available from :
<http://www.scoug.com> [2006, November 4].
- [20] Kang H.R., Color Technology for Electronic Imaging Devices, SPIE Press, 1997.
- [21] Green, P., and MacDonald L.W.; Colour Engineering, John Wiley & Sons, England, 2002.
- [22] Nobbs J.H., Colour-Match Prediction for pigmented materials, Colour Physics for Industry, 2nd ed, ed. R. McDonald, Society of Dyers and colourist, 1997.
- [23] American Society for Testing and Materials, ASTM Standards on Color and Appearance Measurement, 3rd Ed., Amer. Soc. For Testing and Materials, New York, 1991.
- [24] ปรีชา เนาว์เย็นผล. เอกสารการสอนชุดวิชาวิทยาศาสตร์กับสังคม. หน่วยที่ 11. พิมพ์ครั้งที่ 9. นนทบุรี : สำนักพิมพ์มหาวิทยาลัยสุโขทัยธรรมมาธิราช, 2543.

ภาคผนวก

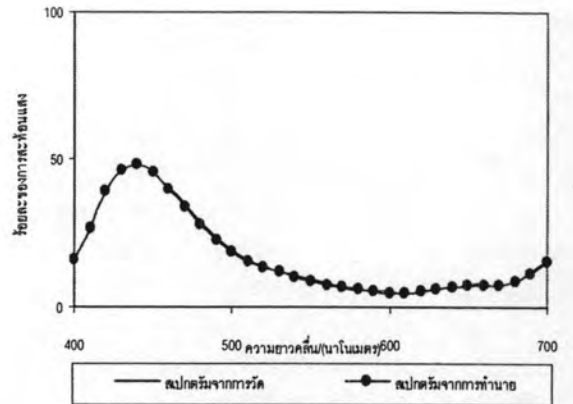
ภาคผนวก ก

การทำนายค่าสเปกตรัมของชุดตัวอย่างสี่ทดสอบ



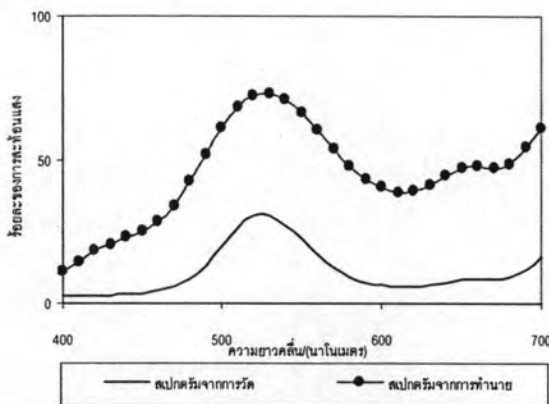
รูปที่ ก-1 สเปกตรัมจากการวัดและทำนายของค่าสี่

R = 0 G = 0 B = 128



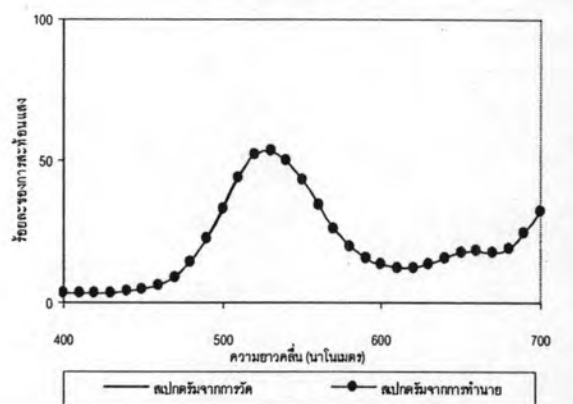
รูปที่ ก-2 สเปกตรัมจากการวัดและทำนายของค่าสี่

R = 0 G = 0 B = 255



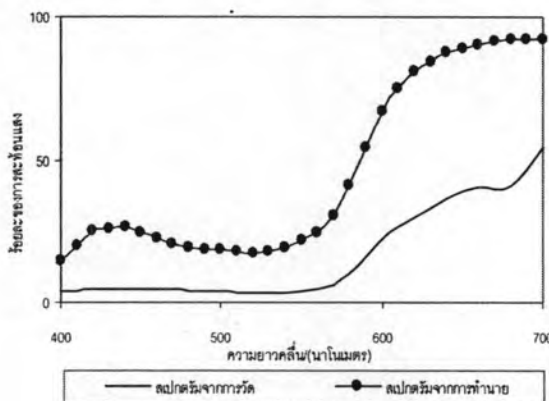
รูปที่ ก-3 สเปกตรัมจากการวัดและทำนายของค่าสี่

R = 0 G = 128 B = 0



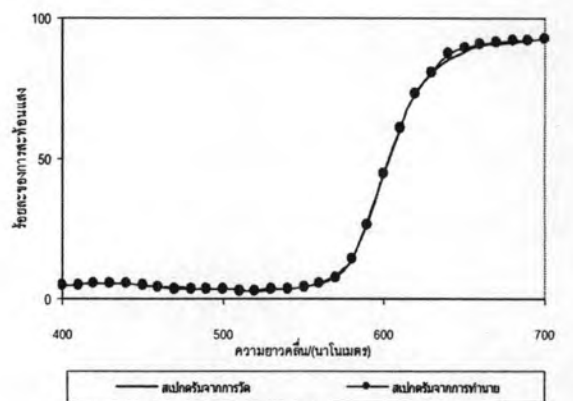
รูปที่ ก-4 สเปกตรัมจากการวัดและทำนายของค่าสี่

R = 0 G = 255 B = 0



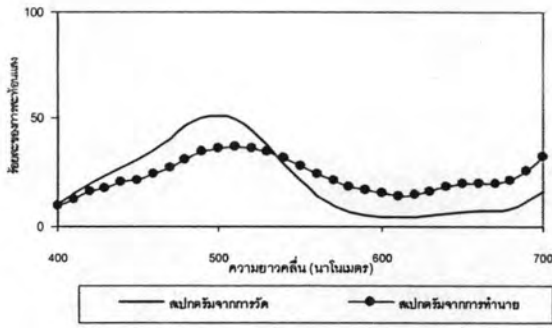
รูปที่ ก-5 สเปกตรัมจากการวัดและทำนายของค่าสี่

R = 128 G = 0 B = 0



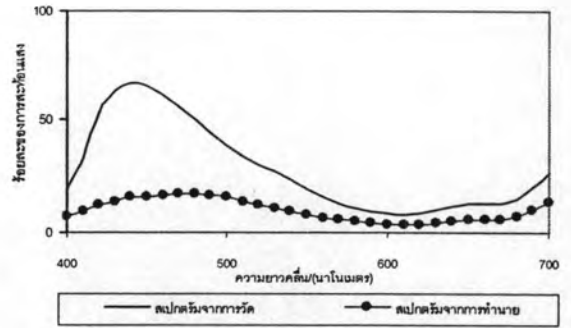
รูปที่ ก-6 สเปกตรัมจากการวัดและทำนายของค่าสี่

R = 255 G = 0 B = 0



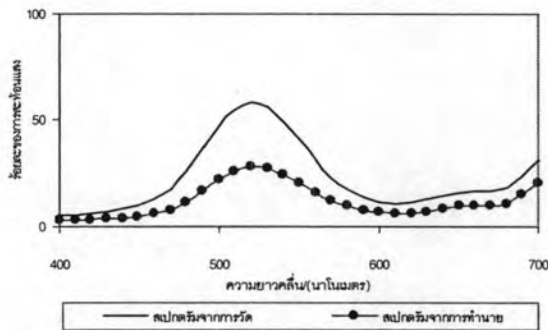
รูปที่ ก-7 สเปกตรัมจากการวัดและทำนายของค่าสี

R = 0 G = 128 B = 128



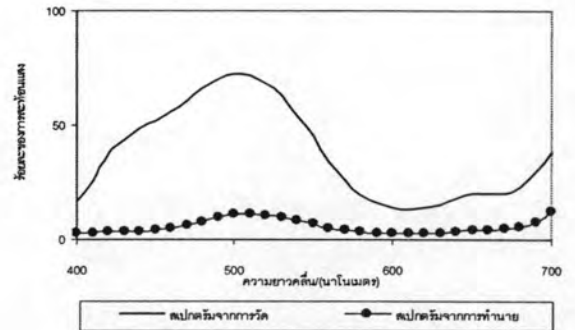
รูปที่ ก-8 สเปกตรัมจากการวัดและทำนายของค่าสี

R = 0 G = 128 B = 255



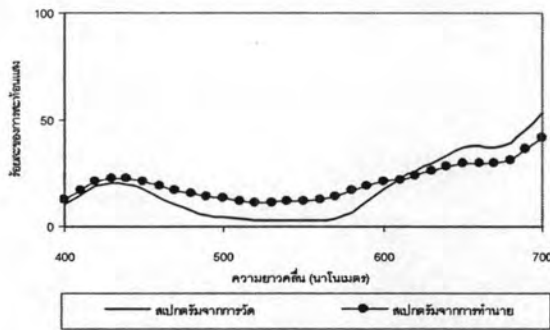
รูปที่ ก-9 สเปกตรัมจากการวัดและทำนายของค่าสี

R = 0 G = 255 B = 128



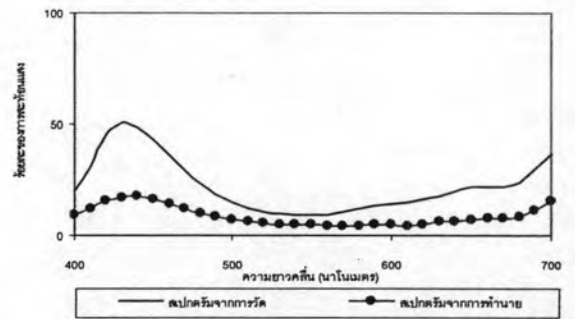
รูปที่ ก-10 สเปกตรัมจากการวัดและทำนายของค่าสี

R = 0 G = 255 B = 255



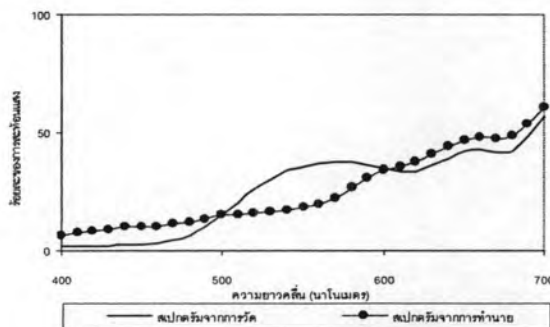
รูปที่ ก-11 สเปกตรัมจากการวัดและทำนายของค่าสี

R = 128 G = 0 B = 128



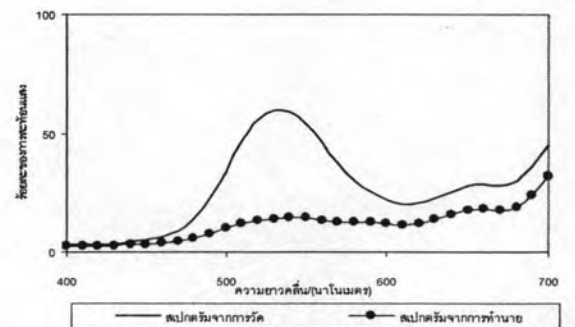
รูปที่ ก-12 สเปกตรัมจากการวัดและทำนายของค่าสี

R = 128 G = 0 B = 255



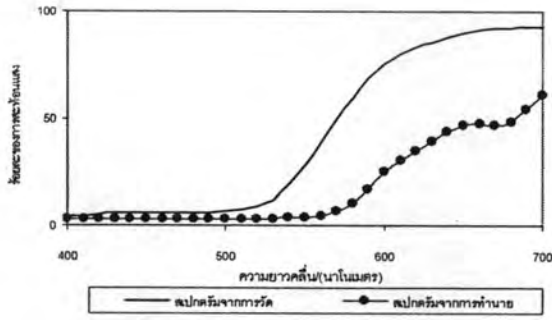
รูปที่ ก-13 สเปกตรัมจากการวัดและทำนายของค่าสี

R = 128 G = 128 B = 0

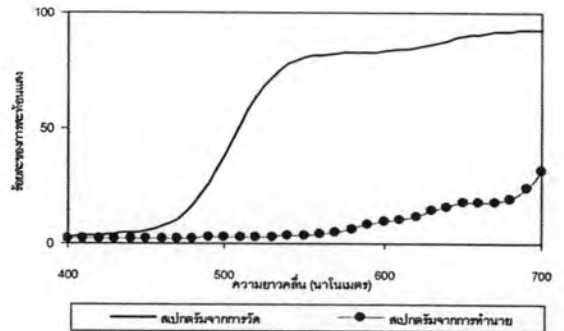


รูปที่ ก-14 สเปกตรัมจากการวัดและทำนายของค่าสี

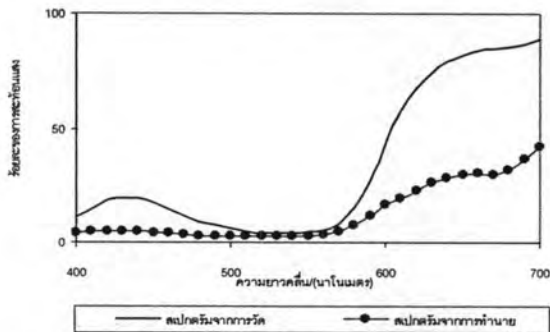
R = 128 G = 255 B = 0



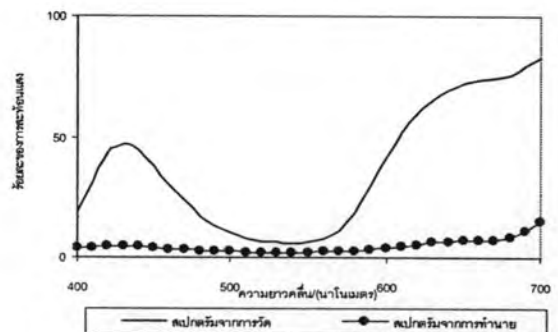
รูปที่ ก-15 สเปกตรัมจากกรวัดและทำนายของค่าสี
R = 255 G = 128 B = 0



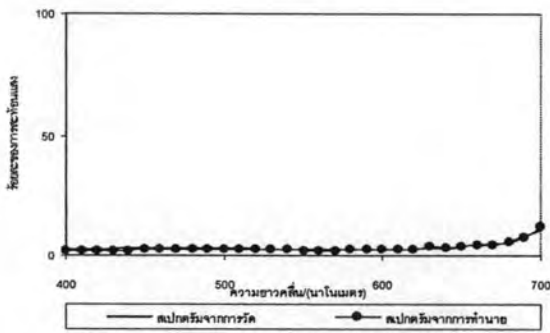
รูปที่ ก-16 สเปกตรัมจากกรวัดและทำนายของค่าสี
R = 255 G = 255 B = 0



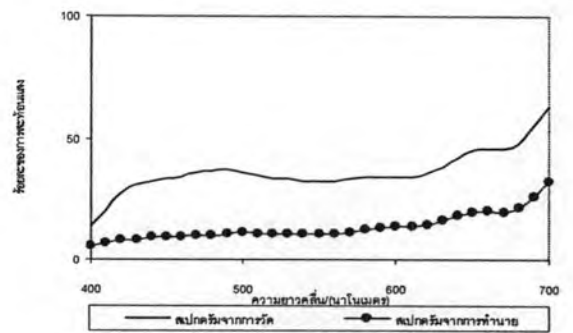
รูปที่ ก-17 สเปกตรัมจากกรวัดและทำนายของค่าสี
R = 255 G = 0 B = 128



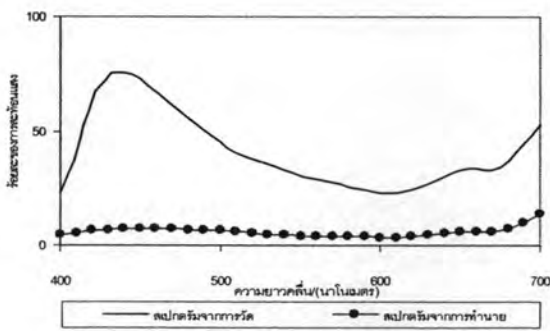
รูปที่ ก-18 สเปกตรัมจากกรวัดและทำนายของค่าสี
R = 255 G = 0 B = 255



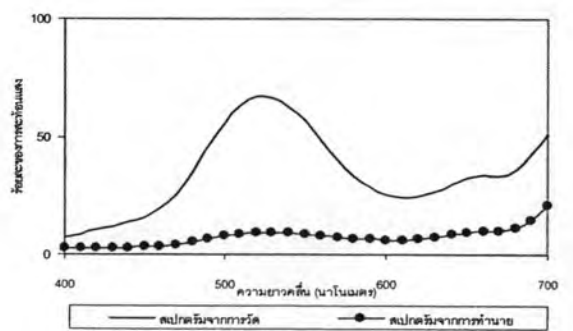
รูปที่ ก-19 สเปกตรัมจากกรวัดและทำนายของค่าสี
R = 0 G = 0 B = 0



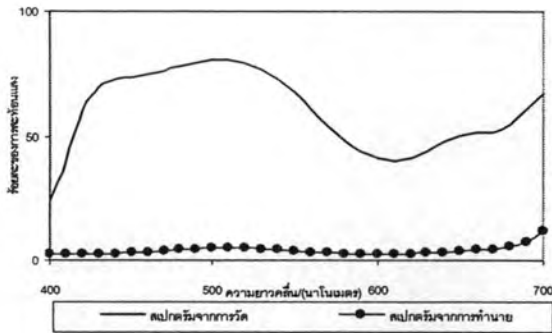
รูปที่ ก-20 สเปกตรัมจากกรวัดและทำนายของค่าสี
R = 128 G = 128 B = 128



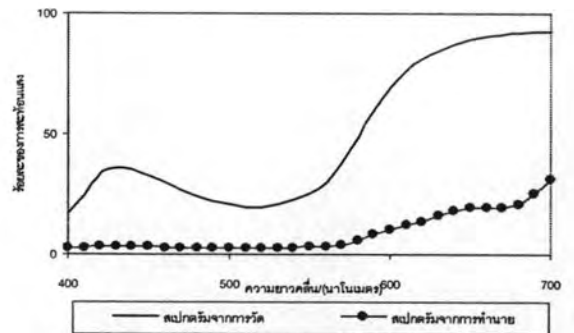
รูปที่ ก-21 สเปกตรัมจากกรวัดและทำนายของค่าสี
R = 128 G = 128 B = 255



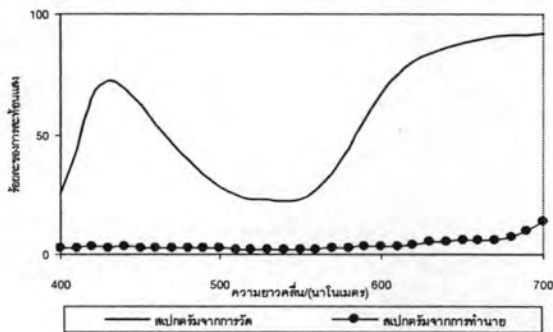
รูปที่ ก-22 สเปกตรัมจากกรวัดและทำนายของค่าสี
R = 128 G = 255 B = 128



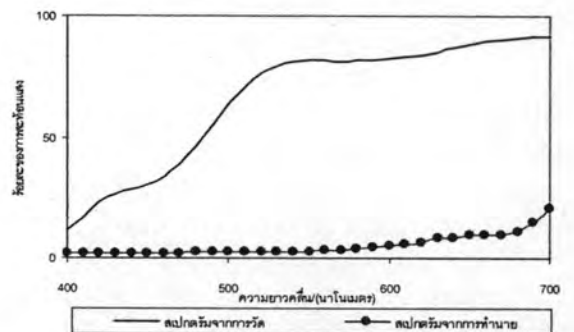
รูปที่ ก-23 สเปกตรัมจากกรวดและทำนายนของค่าสี
R = 128 G = 255 B = 255



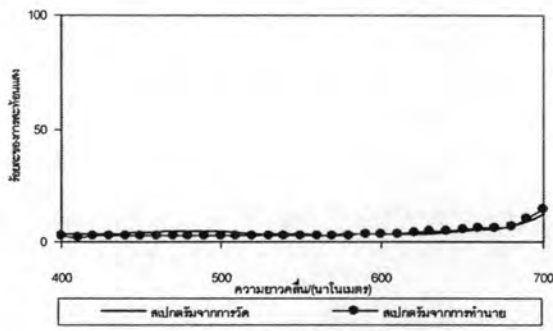
รูปที่ ก-24 สเปกตรัมจากกรวดและทำนายนของค่าสี
R = 255 G = 128 B = 128



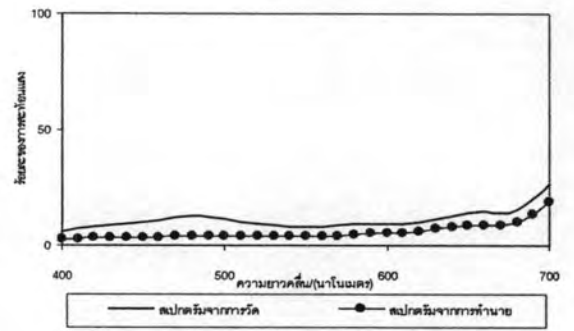
รูปที่ ก-25 สเปกตรัมจากกรวดและทำนายนของค่าสี
R = 255 G = 128 B = 255



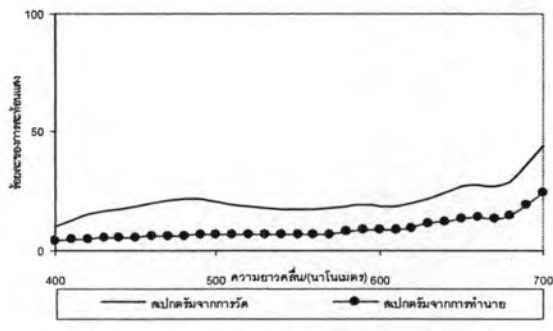
รูปที่ ก-26 สเปกตรัมจากกรวดและทำนายนของค่าสี
R = 255 G = 255 B = 128



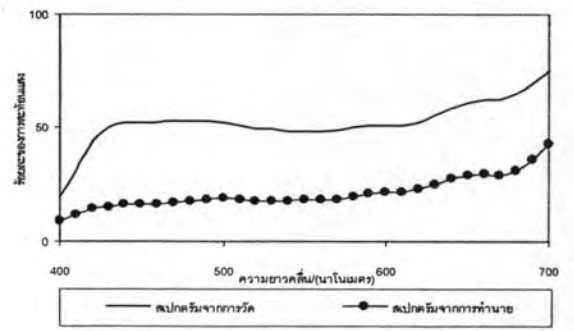
รูปที่ ก-27 สเปกตรัมจากกรวดและทำนายนของค่าสี
R = 32 G = 32 B = 32



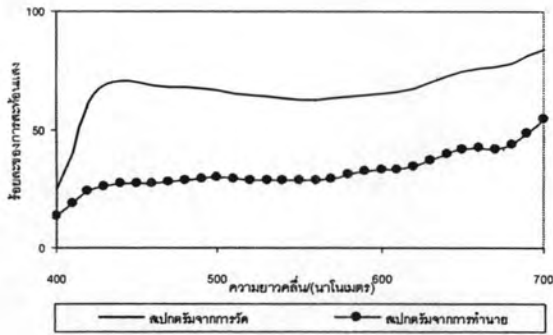
รูปที่ ก-28 สเปกตรัมจากกรวดและทำนายนของค่าสี
R = 64 G = 64 B = 64



รูปที่ ก-29 สเปกตรัมจากกรวดและทำนายนของค่าสี
R = 96 G = 96 B = 96

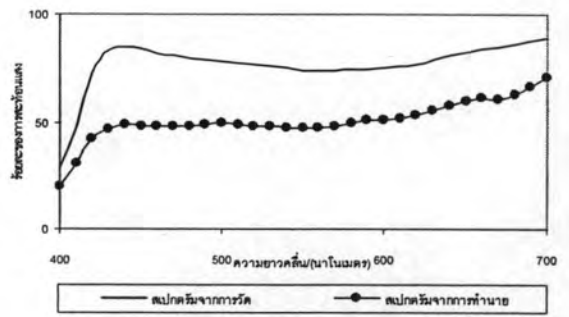


รูปที่ ก-30 สเปกตรัมจากกรวดและทำนายนของค่าสี
R = 160 G = 160 B = 160



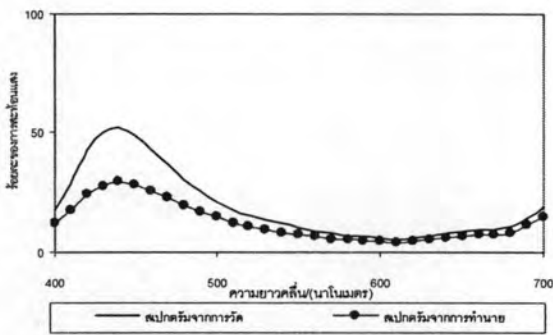
รูปที่ ก-31 สเปกตรัมจากกรวดและทำนายของค่าสี

R = 192 G = 192 B = 192



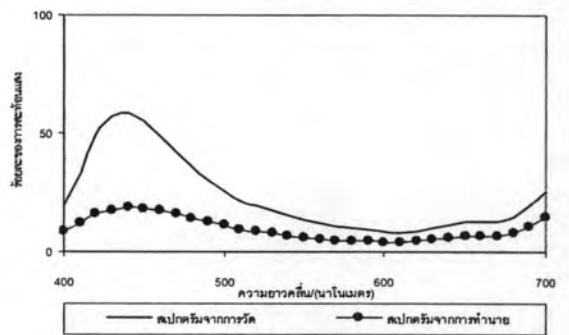
รูปที่ ก-32 สเปกตรัมจากกรวดและทำนายของค่าสี

R = 224 G = 224 B = 224



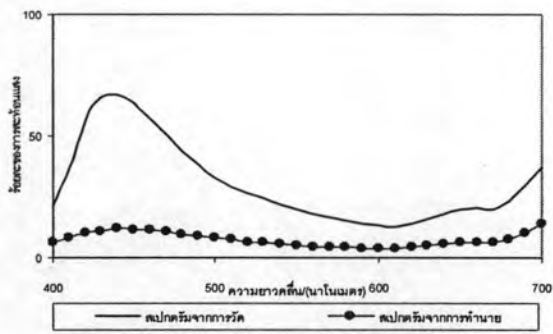
รูปที่ ก-33 สเปกตรัมจากกรวดและทำนายของค่าสี

R = 32 G = 32 B = 255



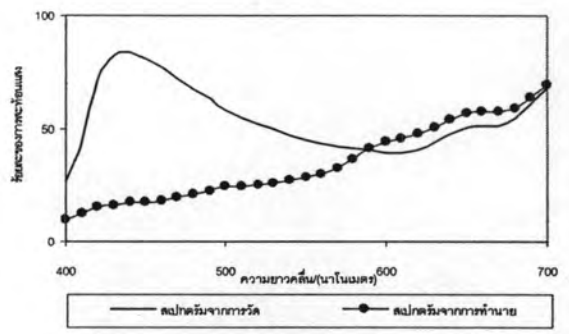
รูปที่ ก-34 สเปกตรัมจากกรวดและทำนายของค่าสี

R = 64 G = 64 B = 255



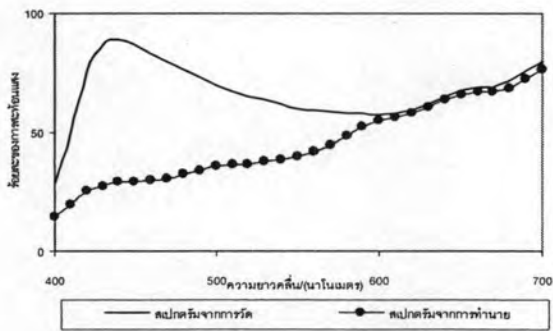
รูปที่ ก-35 สเปกตรัมจากกรวดและทำนายของค่าสี

R = 96 G = 96 B = 255



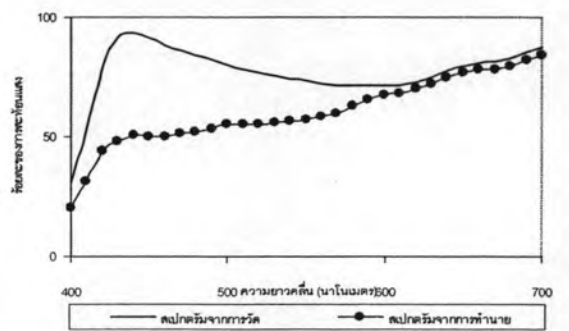
รูปที่ ก-36 สเปกตรัมจากกรวดและทำนายของค่าสี

R = 160 G = 160 B = 255



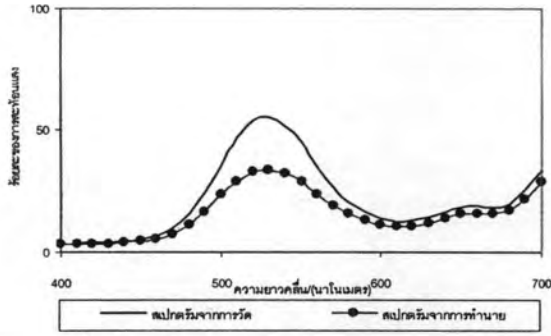
รูปที่ ก-37 สเปกตรัมจากกรวดและทำนายของค่าสี

R = 192 G = 192 B = 255



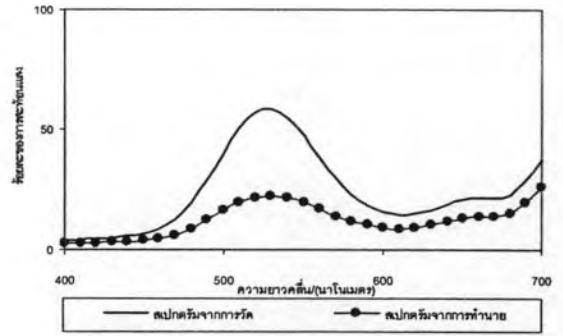
รูปที่ ก-38 สเปกตรัมจากกรวดและทำนายของค่าสี

R = 224 G = 224 B = 255



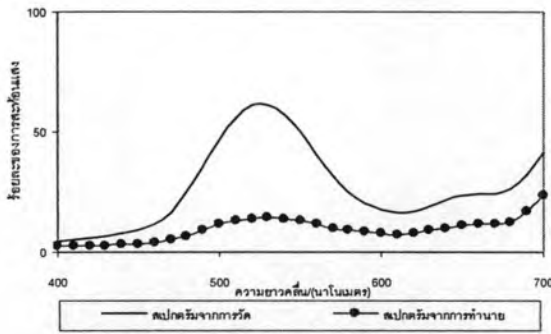
รูปที่ ก-39 สเปกตรัมจากการวัดและทำนายของค่าสี

R = 32 G = 255 B = 32



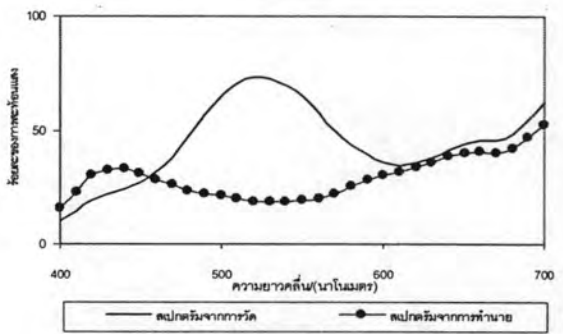
รูปที่ ก-40 สเปกตรัมจากการวัดและทำนายของค่าสี

R = 64 G = 255 B = 64



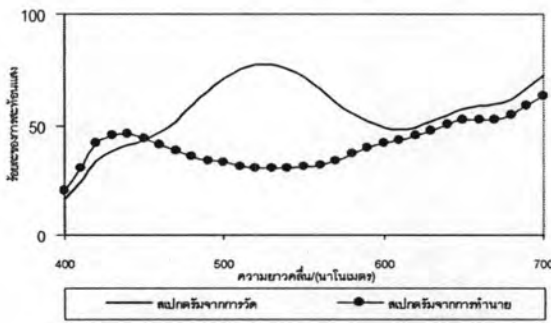
รูปที่ ก-41 สเปกตรัมจากการวัดและทำนายของค่าสี

R = 96 G = 255 B = 96



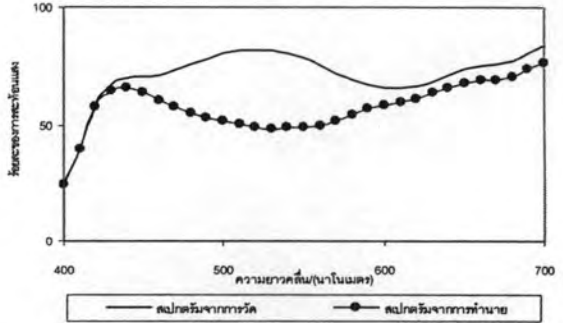
รูปที่ ก-42 สเปกตรัมจากการวัดและทำนายของค่าสี

R = 160 G = 255 B = 160



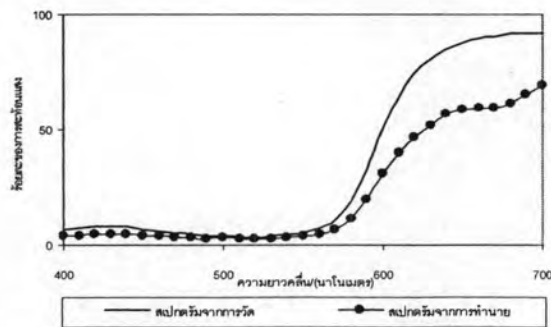
รูปที่ ก-43 สเปกตรัมจากการวัดและทำนายของค่าสี

R = 192 G = 255 B = 192



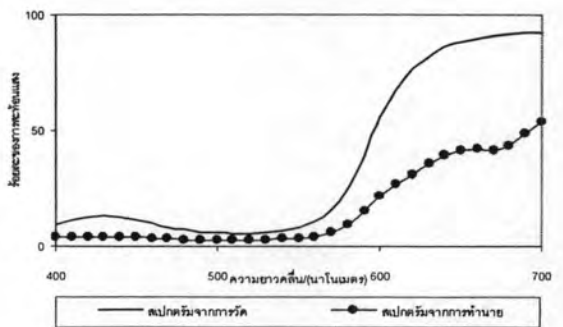
รูปที่ ก-44 สเปกตรัมจากการวัดและทำนายของค่าสี

R = 224 G = 255 B = 224



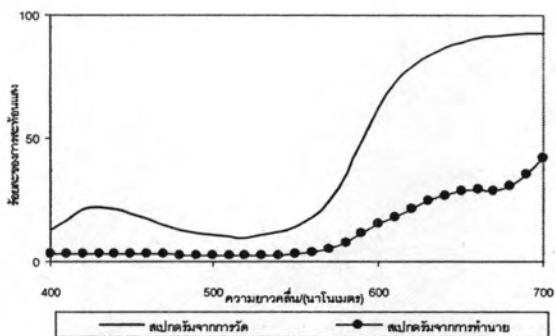
รูปที่ ก-45 สเปกตรัมจากการวัดและทำนายของค่าสี

R = 255 G = 32 B = 32



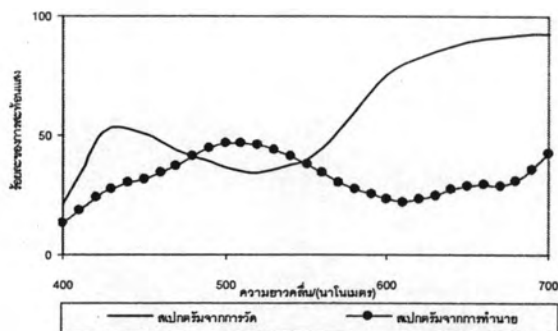
รูปที่ ก-46 สเปกตรัมจากการวัดและทำนายของค่าสี

R = 255 G = 64 B = 64



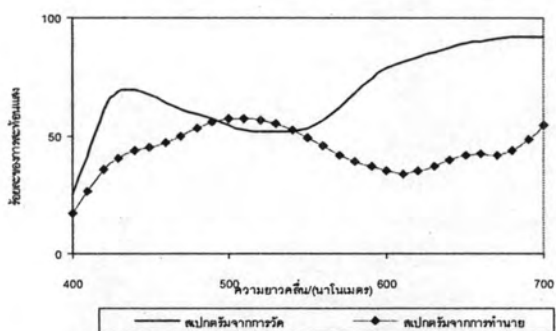
รูปที่ ก-47 สเปกตรัมจากกรวดและทำนายของค่าสี

R = 255 G = 96 B = 96



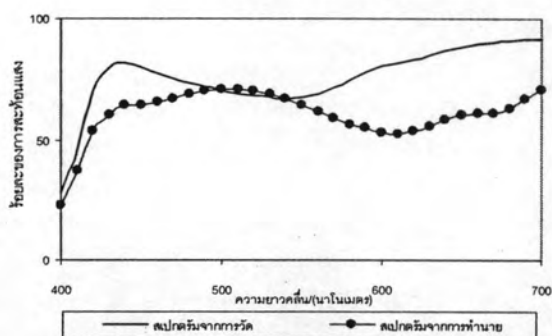
รูปที่ ก-48 สเปกตรัมจากกรวดและทำนายของค่าสี

R = 255 G = 160 B = 160



รูปที่ ก-49 สเปกตรัมจากกรวดและทำนายของค่าสี

R = 255 G = 192 B = 192



รูปที่ ก-50 สเปกตรัมจากกรวดและทำนายของค่าสี

R = 255 G = 224 B = 224

ภาคผนวก ข

การทำนายค่าสี RGB ของชุดตัวอย่างสีทดสอบ

	ค่าสี RGB ของชุด Test set			ค่าสี RGB ทำนาย				ค่าสี RGB ของชุด Test set			ค่าสี RGB ทำนาย		
	R	G	B	R	G	B		R	G	B	R	G	B
1	0	0	0	69	58	128	2	0	0	128	11	0	244
3	0	0	255	0	1	254	4	0	128	0	0	214	41
5	0	128	128	0	82	173	6	0	128	255	0	28	227
7	0	255	0	2	253	0	8	0	255	128	0	203	52
9	0	255	255	0	90	165	10	128	0	0	207	20	28
11	128	0	128	157	0	98	12	128	0	255	82	0	173
13	128	128	0	55	200	0	14	128	128	128	68	100	87
15	128	128	255	0	27	228	16	128	255	0	20	235	0
17	128	255	128	4	245	6	18	128	255	255	0	99	156
19	255	0	0	227	28	0	20	255	0	128	197	0	58
21	255	0	255	166	0	89	22	255	128	0	91	164	0
23	255	128	128	216	0	39	24	255	128	255	164	0	91
25	255	255	0	51	204	0	26	255	255	128	52	203	0
27	32	32	32	65	56	134	28	64	64	64	73	58	123
29	96	96	96	71	79	105	30	160	160	160	66	103	86
31	192	192	192	62	108	85	32	224	224	224	54	110	91
33	255	32	32	251	4	0	34	255	64	64	241	0	14
35	255	96	96	226	0	29	36	255	160	160	178	33	44
37	255	192	192	129	70	55	38	255	224	224	87	100	68
39	32	255	32	0	255	0	40	64	255	64	1	254	0
41	96	255	96	0	253	2	42	160	255	160	12	229	14
43	192	255	192	23	205	27	44	224	255	224	33	155	67
45	32	32	255	0	3	252	46	64	64	255	0	7	248
47	96	96	255	0	15	240	48	160	160	255	1	40	214
49	192	192	255	25	59	171	50	224	224	255	37	85	133

ประวัติผู้เขียนวิทยานิพนธ์

นางสาวอารีรัตน์ ปฐมชัยวาลย์ เกิดวันที่ 23 มกราคม พ.ศ. 2526 จังหวัดนครปฐม สำเร็จ การศึกษาปริญญาวิทยาศาสตรบัณฑิต สาขาวิชาเทคโนโลยีทางภาพและการพิมพ์ ภาควิชา วิทยาศาสตร์ทางภาพถ่ายและเทคโนโลยีทางการพิมพ์ คณะวิทยาศาสตร์ จุฬาลงกรณ์ มหาวิทยาลัย ปีการศึกษา 2547 และสำเร็จการศึกษาปริญญาเศรษฐศาสตรบัณฑิต สาขาวิชา เศรษฐศาสตร์ธุรกิจ คณะเศรษฐศาสตร์ มหาวิทยาลัยสุโขทัยธรรมาธิราช ปีการศึกษา 2548 เข้า ศึกษาต่อระดับปริญญาวิทยาศาสตรมหาบัณฑิต สาขาเทคโนโลยีทางภาพ คณะวิทยาศาสตร์ จุฬาลงกรณ์มหาวิทยาลัย ปีการศึกษา 2548

